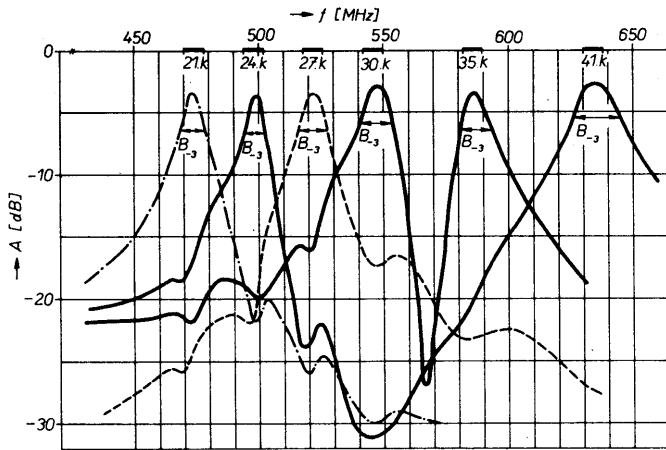


Obr. 94. Útlumové charakteristiky výhybky z obr. 93



Obr. 95. Pohled na výhybku (3. str. obálky)

### Seznam součástek

L <sub>A</sub>	viz obr. 93
L <sub>B</sub>	8 1/2 z drátu o Ø 0,5 mm CuL na Ø 3 mm
C <sub>0</sub>	0,5 až 4,5 pF, skleněný trimr
C <sub>x</sub>	2,2 pF, TK 656 pro kanály 21, 24, 27, 30 1 pF, TK 656 pro kanály 35 a 41
C <sub>1</sub>	2 × 1 pF, TK 656, v sérii
C <sub>2</sub>	25 mm dvoulinky (viz text)

K jednotlivým vstupům lze připojit výstupy širokopásmových nebo kanálových zesilovačů, širokopásmové nebo kanálové antény apod. Výstup je možné připojit přímo nebo přes vhodný širokopásmový zesilovač do rozvodu.

## 5. Odlaďovače

Odlaďovač je pasivní obvod, který má za úkol potlačit (odladit) signál daného kmitočtu nebo signály v relativně úzkém kmitočtovém pásmu. Požadavky na něj kladené jsou často protichůdné a proto se kvalitní odlaďovač realizuje obtížně. Má mít obvykle co největší útlum potlačovaných signálů, pro ostatní signály útlum pokud možno nulový. Přitom se obvykle požaduje co největší strmost boků útlumové charakteristiky. Za nejjednodušší odlaďovač lze považovat sériový rezonanční obvod, zapojený paralelně k signálové cestě nebo paralelní rezonanční obvod, zapojený sériově do signálové cesty. Bohužel tyto jednoduché obvody při praktické realizaci nesplňují současně všechny naše požadavky, a to zejména v pásmu UHF.

Funkci odlaďovače si popíšeme na příkladu sériového rezonančního obvodu, připojeného paralelně k signálové cestě (např. vedení, zesilovač apod.). Tato cesta má nějakou charakteristickou jmenovitou impedanci, obvykle  $Z_0 = 75 \Omega$ . K této impedanci je paralelně připojena impedance odlaďovače, která má být pro odlaďované signály teoreticky nulová, pro ostatní nekonečně velká. Na tom, jak se skutečné poměry liší od teoretických, závisí kvalita odlaďovače. Jak je vidět, je výhodné realizovat odlaďovač v místě s velkou impedancí. Navíc mají obvody s velkou impedancí některé nepříznivé vlastnosti: nelze realizovat taková vedení, zesilovače

jsou citlivé na parazitní kapacity na zem. Navíc by se musela tato impedance zpětně transformovat na impedanci  $Z_0 = 75 \Omega$  (nebo  $50 \Omega$ ), kterou zásadně mají běžné vyráběné souosé kabely a přístroje. Při této transformaci vznikají nutné ztráty, a ty jsou tím větší, čím větší je tato transformace.

Při zvažování různých variant odlaďovače padla volba na modifikované sérioparalelní rezonanční obvody, které se vyznačují tím, že s nimi lze vytvořit jednu hranu (bok) útlumové charakteristiky dostatečně strmou. Přitom zejména při použití v pásmu UHF je lze prakticky realizovat. Dva základní typy sérioparalelních rezonančních obvodů jsou na obr. 96 spolu s průběhy impedancí.

Jednotlivé prvky jsou dány následujícími vztahy:  
pro obr. 96a

$$f_1 = \frac{1}{2\pi\sqrt{L_1(C_1 + C_2)}} \quad (80),$$

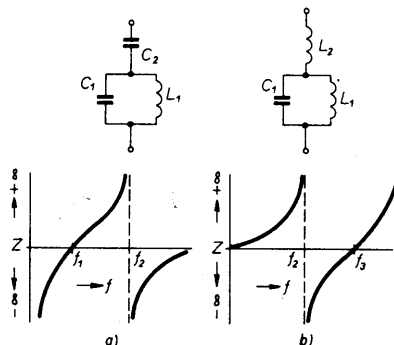
$$f_2 = \frac{1}{2\pi\sqrt{L_1 C_1}} \quad (81);$$

pro obr. 96b

$$f_2 = \frac{1}{2\pi\sqrt{L_1 C_1}} \quad (82),$$

$$f_3 = \frac{1}{2\pi\sqrt{\frac{L_1 + L_2}{L_1 L_2 C_1}}} \quad (83).$$

Jak je vidět z průběhů impedancí, má obvod podle obr. 96a na kmitočtu  $f_1$  minimální impedanci, jejíž velikost je dána vzájemnými poměry jednotlivých prvků a jejich ztrátami. Na kmitočtu  $f_2$  (a také na nulovém kmitočtu) je impedance obvodu maximální. Při použití tohoto obvodu jako odlaďovače zařazeného paralelně k signálové cestě je na kmitočtu  $f_1$  maximální útlum a na kmitočtu  $f_2$  útlum

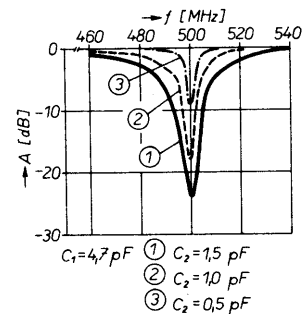


Obr. 96. Sérioparalelní rezonanční obvody

minimální. Přibližováním kmitočtu  $f_2$  k  $f_1$  můžeme ovlivňovat strmost této hrany útlumové charakteristiky. Obdobné vlastnosti má obvod z obr. 96b, kde kmitočet  $f_2$ , na němž má obvod maximální impedanci, je nižší než kmitočet  $f_3$ , při němž má obvod minimální impedanci. Maximální útlum tohoto obvodu jako paralelního odlaďovače je na kmitočtu  $f_3$  a minimální na kmitočtu  $f_2$ .

Pro ukázkou praktického návrhu si zvolme zapojení podle obr. 96a. Nejprve si zvolme střední kmitočet útlumové charakteristiky  $f_1 = 500$  MHz. Jak je vidět ze vztahů (80) a (81), je dán oběma kapacitami  $C_1$  a  $C_2$ , kdežto kmitočet  $f_2$  je dán pouze kapacitou  $C_1$ . Chceme-li, aby kmitočty  $f_1$  a  $f_2$  byly co nejbližší u sebe (co největší strmost), volíme  $C_2$  co nejmenší a  $C_1$  co největší. Přibližně lze tedy říci, že kapacita  $C_2$  ovlivňuje zejména maximální útlum a poměr  $L_1/C_1$  strmost hrany. Na základě této úvahy zvolíme tedy  $C_1 = 4,7$  pF a  $C_2 = 1$  pF. Potom dostaneme  $L_1 = 18$  nH a kmitočet  $f_2 = 547$  MHz.

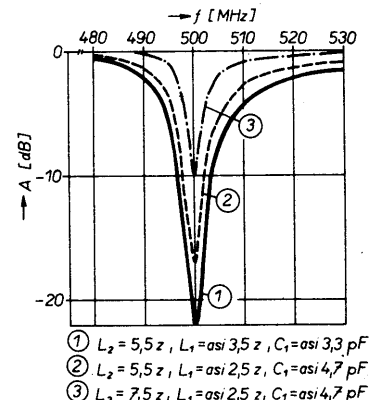
Při praktické realizaci byly optimalizovány hodnoty součástek z hlediska realizovatelnosti a dosažených parametrů. Některé útlumové charakteristiky jsou na obr. 97. Jemně byl obvod na středním



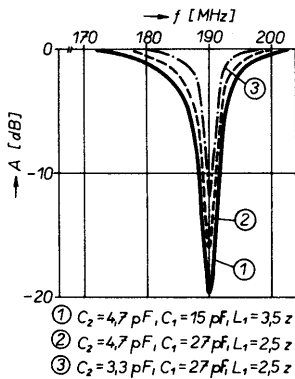
Obr. 97. Útlumové charakteristiky obvodu z obr. 96a pro pásmo UHF

kmitočtu  $f_0 = 500$  MHz doladěn malou změnou  $L_1$ . Obdobné charakteristiky byly získány i pro změny  $C_1$  při pevném  $C_2$ . Zde jsou změny velmi malé, např. změna  $C_1$  od 2,2 do 4,7 pF znamená změnu útlumu z -21 na -18 dB na  $f_0$ , přičemž při  $C_1 = 4,7$  pF je hrana strmější než při  $C_1 = 2,2$  pF. Cívka  $L_1$  byla obvykle zhotovena ze 2 závitů drátu o Ø 0,8 mm CuAg na Ø 3 mm.

Obdobně byl realizován obvod podle obr. 96b, přičemž jako  $L_2$  byla používána cívka od 2,5 do 7,5 závitů drátu o Ø 0,5 mm CuL na Ø 3 mm,  $L_1$  byla obvykle 2,5 až 3,5 závitů drátu o Ø 0,8 mm CuAg na Ø 3 mm,  $C_1$  se měnil v mezích 2,2 až 4,7 pF.

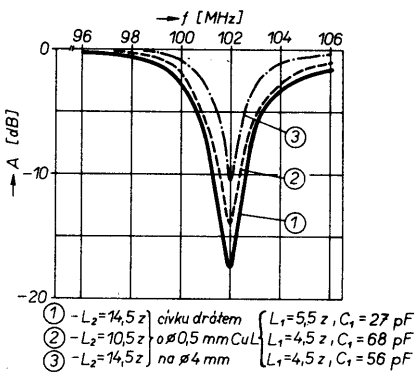


Obr. 98. Útlumové charakteristiky obvodu z obr. 96b pro pásmo UHF



Obr. 99. Útlumové charakteristiky obvodu z obr. 96a pro pásmo VHF

Útlumové charakteristiky několika variant jsou na obr. 98. Dále byly vyzkoušeny obvody podle obr. 96a pro III. TV pásmo s  $C_2 = 3,3$  až  $4,7 \text{ pF}$ ,  $C_1 = 10$  až  $27 \text{ pF}$ ,  $L_1 = 2,5$  až  $5,5$  závitů drátu o  $\varnothing 0,5 \text{ mm}$  CuL na  $\varnothing 3 \text{ mm}$ . Několik příkladů útlumových charakteristik je na obr. 99. Poslední typ odlaďovače byl realizován pro pásmo FM rozhlasu VKV-CCIR. Při použití ve variantě podle obr. 96a byly ověřeny součástky  $C_2 = 5,6$  až  $8,2 \text{ pF}$ ,  $C_1 = 27$  až  $68 \text{ pF}$  a  $L_1 = 3,5$  až  $8,5$  závitů drátu o  $\varnothing 0,5 \text{ mm}$  CuL na  $\varnothing 3 \text{ mm}$ . Varianta podle obr. 96b měla tyto součástky  $L_2 = 10,5$  až  $14,5$  závitů drátu o  $\varnothing 0,5 \text{ mm}$  CuL na  $\varnothing 4 \text{ mm}$ ,  $L_1 = 4,5$  až  $6,5$  závitů drátu o  $\varnothing 0,8 \text{ mm}$  CuAg na  $\varnothing 3 \text{ mm}$ ,  $C_1 = 27$  až  $68 \text{ pF}$ . Útlu-

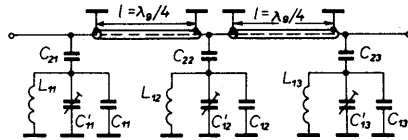


Obr. 100. Útlumové charakteristiky obvodu z obr. 96b pro pásmo VKV-FM

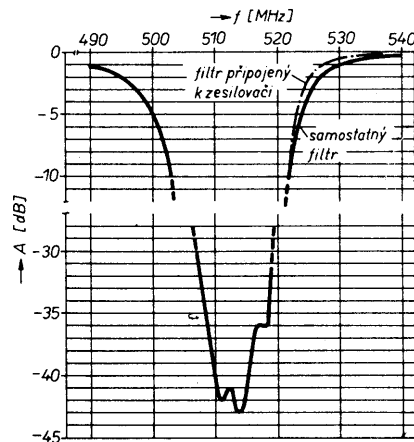
mové charakteristiky několika příkladů této varianty jsou na obr. 100. Konkrétní příklady použití budou uvedeny na konci této kapitoly.

### Odladovač, využívající transformačních vlastností vedení

Jak bylo naznačeno, účinek odlaďovače je tím větší, na čím větší impedanci působí. Při zvažování praktických možností, jak realizovat tento požadavek, zejména s ohledem na použití společně se zesilovači s moderními bipolárními tranzistory, které mají vstupní a výstupní impedance blízké  $75 \Omega$ , padla volba na využití transformačních vlastností vedení. Jak plyne z teorie a jak si každý může lehce dokázat na Smithově diagramu, transformuje vedení dlouhé  $\lambda/4$  nulovou impedanci na nekonečnou a naopak. Transformace vedením  $\lambda/4$  znamená totiž otočení daného impedančního bodu po kružnici se středem uprostřed diagramu o  $180^\circ$ . Této výhodné vlastnosti vedení spolu s vlastnostmi sérioparalelního rezonančního obvodu bylo využito při realizaci odlaďovače.



Obr. 101. Celkové schéma odlaďovače



Obr. 102. Útlumová charakteristika

Podívejme se na obr. 101, kde je celkové schéma odlaďovače. Příklad útlumové charakteristiky je na obr. 102.

### Seznam součástek

- $C_{21}, C_{22}, C_{23}$  1 pF, TK 656  
 $C_{11}, C_{12}, C_{13}$  2,2 pF, TK 656  
 $C'_{11}, C'_{12}, C'_{13}$  0,5 až 4,5 pF, skleněný trimr  
 souosý kabel VLEOY 75-3, 7; VCEOY 75-3, 7 délky 87 mm; VCCDY 75-3, 7 délky 109 mm  
 $L_{11}, L_{12}, L_{13}$  2 závitů drátu o  $\varnothing 0,8 \text{ mm}$  CuAg na  $\varnothing 3 \text{ mm}$

Tři sérioparalelní obvody jsou spojeny úseky vedení (souosý kabel) o délce  $l = \lambda_g/4$  (tj. čtvrtvlnným vedením) na odlaďovaném kmitočtu. Chceme-li odlaďovat např. kanál 26, který má střední kmitočet zhruba  $514 \text{ MHz}$ , pak  $\lambda = 300/f = 58,4 \text{ cm}$  a z toho  $\lambda/4 = 14,6 \text{ cm}$ . Tuto délku je třeba násobit tzv. činitelem zkrácení  $k$ , který je různý pro různé typy kabelů v závislosti na jejich dielektriku, např. pro plně PE dielektrikum je  $k \approx 0,66$  a pro pěnové PE dielektrikum je  $k \approx 0,81$ . Při použití souosého kabelu v odlaďovači vychází však činitel zkrácení o něco větší, a sice pro plně dielektrikum  $k' = 0,59$  a pro pěnové  $k' = 0,75$ . Potom tedy vyjde délka úseku vedení  $l = \lambda/4 \cdot k' = 86 \text{ mm}$  (109 mm) pro kabel s plným (pěnovým) dielektrikem. Délkou úseku vedení  $l$  je myšlena délka opletení (vnějších vodičů) souosého kabelu (viz např. obr. 101, 103). Lze použít i souosý kabel s teflonovou vnitřní izolací (např. o vnějším  $\varnothing 3 \text{ mm}$ ), který má charakteristickou impedanci  $50 \Omega$ . Činitel zkrácení při použití v odlaďovači volíme

$k' = 0,62$ . Při jeho použití se zmenší útlum na odlaďovacích kmitočtech o asi 6 až 8 dB a na hraně propustného pásma se zvětší max. o 0,5 dB. Mírné nepříznivé působení k napájecímu souosému kabelu, který je většinou  $75 \Omega$ , obvykle nevádí, pokud jde o výstup k zesilovači je naopak vítané z hlediska malé vstupní impedance tranzistoru.

Vraťme se nyní k popisu funkce podle obr. 101. První obvod způsobí na odlaďovaném kmitočtu značné zmenšení impedance. Toto zmenšení se transformačním účinkem projeví jako velká impedance v místě druhého obvodu, čímž se zvětší jeho účinek. Obdobně pracuje i třetí obvod. Součástky byly zvoleny jako kompromis mezi útlumem v potlačovaném pásmu a stromostí útlumové charakteristiky. Paralelní kombinace pevného a proměnného kondenzátoru byla zvolena s ohledem na jakost obvodu a jeho časovou stálost. Pokud mají pevné kondenzátory  $C_{11} = C_{12} = C_{13}$  kapacitu  $2,2 \text{ pF}$ , je přeladění proměnnými kapacitními trimry  $0,5$  až  $4,5 \text{ pF}$  v rozsahu od  $500$  do  $580 \text{ MHz}$ . Kmitočtová pásma lze měnit změnou kapacity pevných kondenzátorů. Vypustí-li se úplně, je maximální kmitočet odlaďení pro  $L_{11} = L_{12} = L_{13}$  podle seznamu součástek a minimální kapacitu trimrů asi  $700 \text{ MHz}$ . S  $C_{11} = C_{12} = C_{13}$  o kapacitě  $3,3 \text{ pF}$  obsáhne pásmo asi  $450$  až  $540 \text{ MHz}$ .

### Konstrukce zesilovačů s odlaďovači

Na obr. 103, 104, 105, 106, 107, 108 je tříobvodový odlaďovač s dvoustupňovým širokopásmovým zesilovačem bez zpětných vazeb.

### Seznam součástek

#### Kondenzátory

- $C_1, C_4, C_7$  1 pF, TK 656  
 $C_2, C_5, C_8$  0,5 až 4,5 pF, skleněný trimr  
 $C_3, C_6, C_9$  2,2 pF, TK 656 (viz text)  
 $C_{10}, C_{11}$  4,7 pF, TK 656 (755)  
 $C_{12}$  10 pF, TK 754 (755)  
 $C_{13}$  100 pF, TK 754 (774)  
 $C_{14}, C_{15}$  680 pF až 2,2 nF, TK 724 (744, 794, 795)

#### Rezistory (TR 151, TR 191)

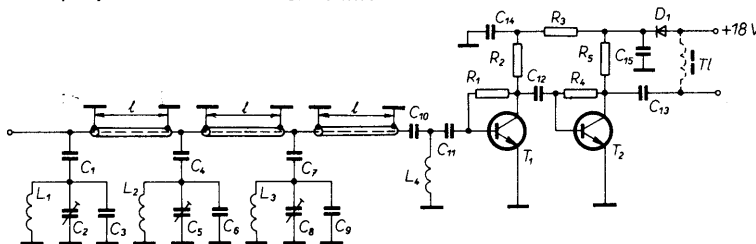
- $R_1$  100 k $\Omega$ , viz text  
 $R_2$  1,2 k $\Omega$   
 $R_3$  33  $\Omega$   
 $R_4$  27 k $\Omega$ , viz text  
 $R_5$  560  $\Omega$ , TR 152 (192)

#### Tranzistory a diody

- $T_1$  BFT66 (BFR90, BFR34, BFR69 atd.)  
 $T_2$  BFR91 (TK 654 atd.)  
 $D_1$  dioda Si

#### Cívky

- $L_1, L_2, L_3$  2 závitů drátu o  $\varnothing 0,8 \text{ mm}$  Cu nebo CuAg na  $\varnothing 3 \text{ mm}$



Obr. 103. Schéma zapojení zesilovače s odlaďovačem